

Inférence sur graphes et groupes

Jean-Philippe Vert

Ecole des Mines de Paris, France
Jean-Philippe.Vert@mines.org

Séminaire statistiques spatiales, INAPG, 23 janvier 2004

Plan

1. Motivations
2. Analyse harmonique et covariances sur les graphes
3. Covariances sur des groupes
4. Application: analyse de voies métaboliques par puces à ADN

Part 1

Motivations

Contexte

- Problème: estimation d'une fonction $f : \mathcal{X} \rightarrow \mathbb{R}$ a partir d'observations ponctuelles $f(x_1), \dots, f(x_n)$ ou $x_i \in \mathcal{X}$
- Ce dont on a besoin: une fonction de covariance $k : \mathcal{X} \times \mathcal{X} \rightarrow \mathbb{R}$ qui definit un processus de Gaussien de moyenne nulle par:

$$Ef(x)f(x') = k(x, x').$$

- On peut alors estimer les lois du processus conditionnellement aux observations, krigeage, SVM, etc...

Cas classique

- $\mathcal{X} = \mathbb{R}^p$, avec ($p = 2, 3$).
- Hypothese de stationarite:

$$k(x, x') = C(x - x').$$

- Parfois, hypothese d'isotropie:

$$k(x, x') = C(||x - x'||).$$

Conditions sur k et C

- k est une fonction de covariance ssi elle est **symétrique**:

$$\forall x, x' \in \mathcal{X}, \quad k(x, x') = k(x', x),$$

et définie positive:

$$\forall n \in \mathbb{N}, x_1, \dots, x_n \in \mathcal{X}, a_1, \dots, a_n \in \mathbb{R}, \quad \sum_{i,j=1}^n a_i a_j k(x_i, x_j) \geq 0.$$

Théorème de Bochner

Théorème 1. *Une fonction stationnaire $k(x, x') = C(x - x')$ sur \mathbb{R}^d est symétrique définie positive si et seulement si c'est la transformée de Fourier d'une mesure réelle positive.*

Exemples de covariances stationnaire isotropiques

- Gaussienne:

$$C(x) = e^{-ax^2}, \quad \hat{C}(\omega) = \sqrt{\frac{\pi}{a}} e^{\pi^2 k^2 / a}.$$

- Exponentielle:

$$C(x) = e^{-2\pi\omega_0|x|}, \quad \hat{C}(\omega) = \frac{1}{\pi\omega^2 + \omega_0^2} \omega_0$$

Notre probleme

- Comment generaliser ces methodes a des espaces \mathcal{X} differents?
- exemple 1: \mathcal{X} est un graphe
- exemple 2: \mathcal{X} est un groupe

Part 2

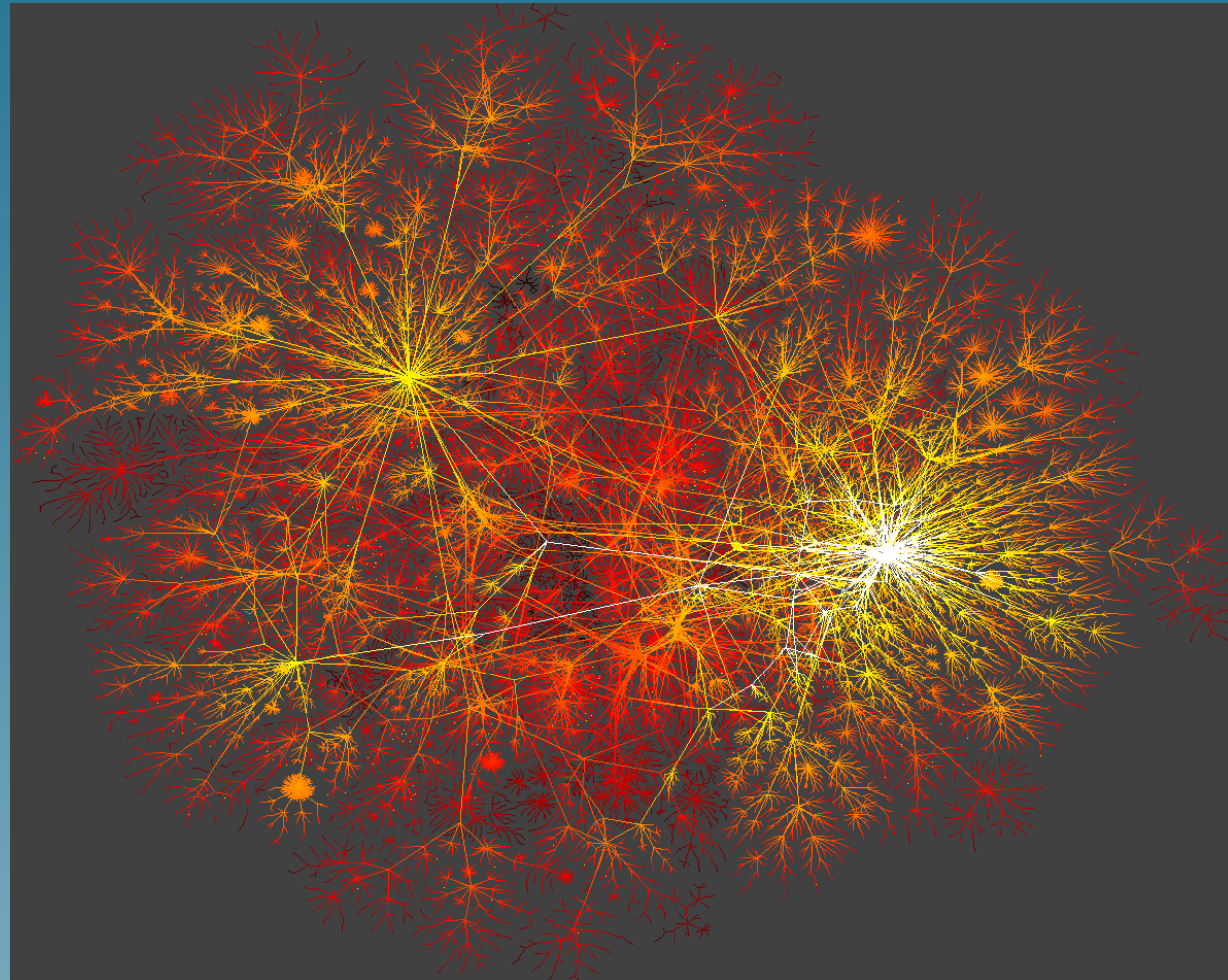
Analyse harmonique et covariances sur les graphes

Motivation

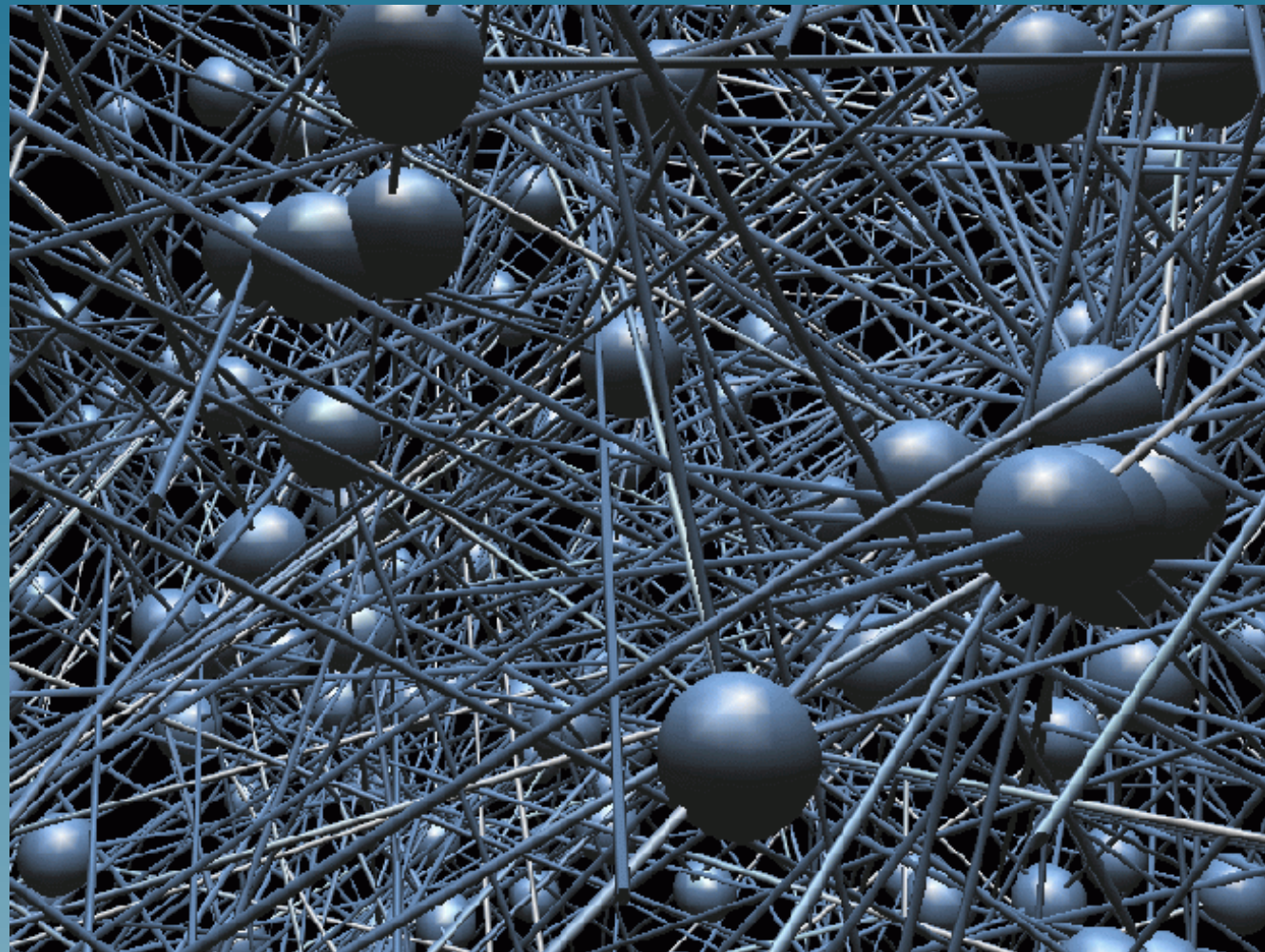
De nombreuses donnees peuvent se representer comme les noeux d'un graphe:

- par nature,
- par discretisation/echantillonage d'un espace continu,
- par necessite

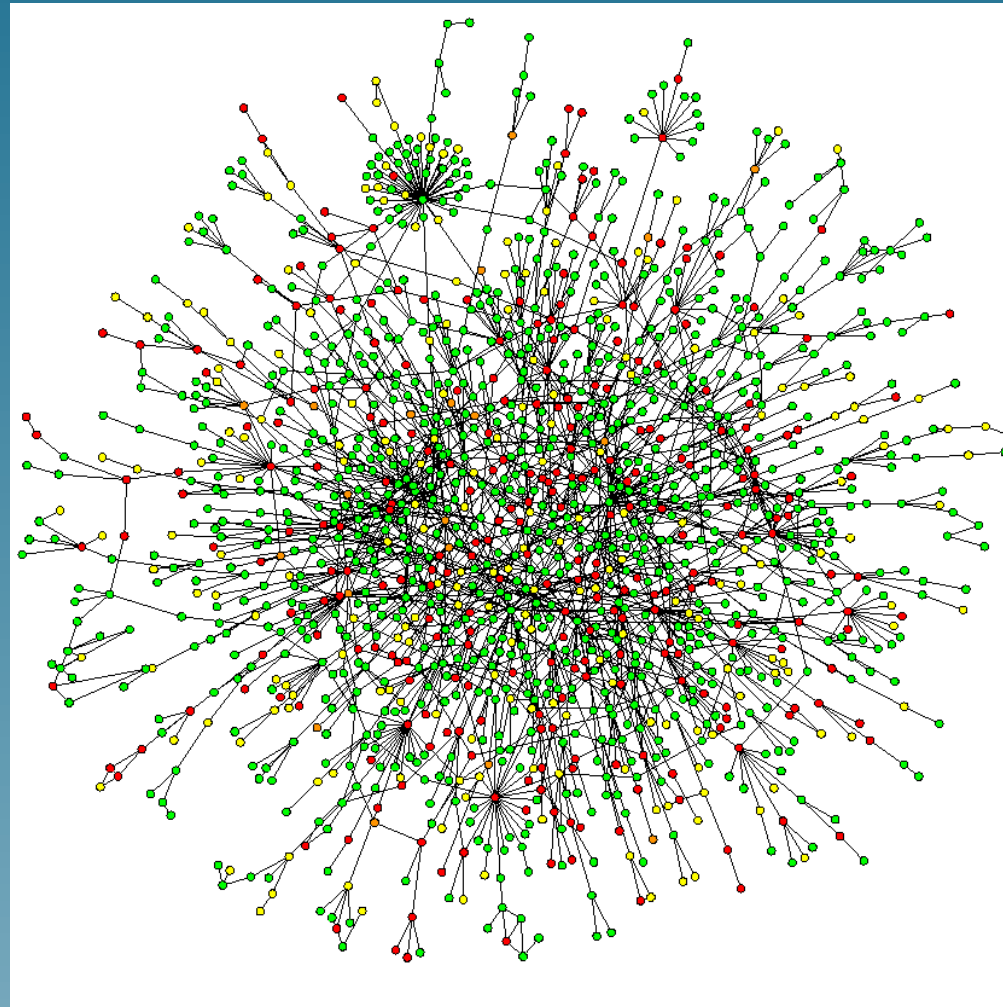
Internet (par nature)



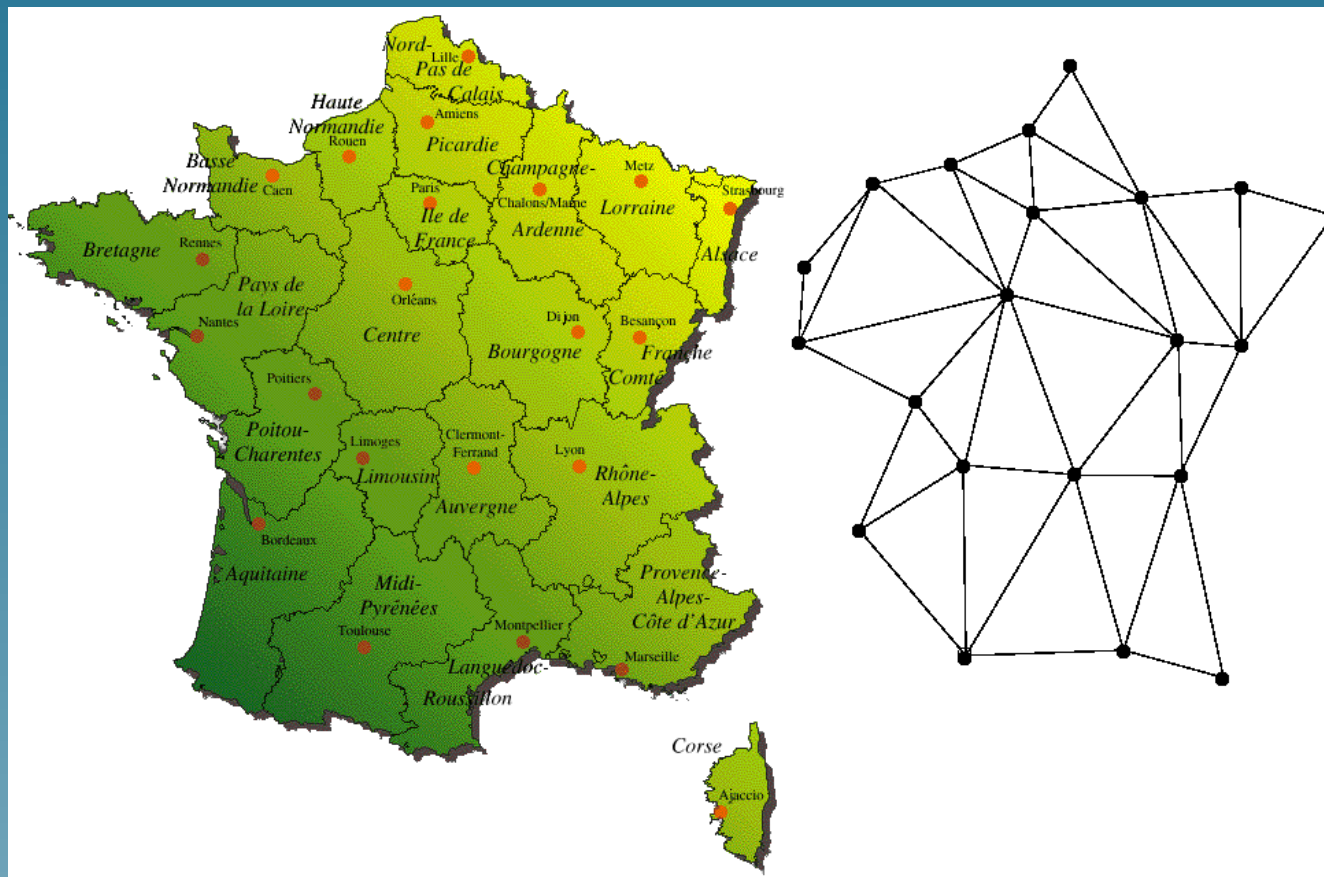
Reseau social (par nature)



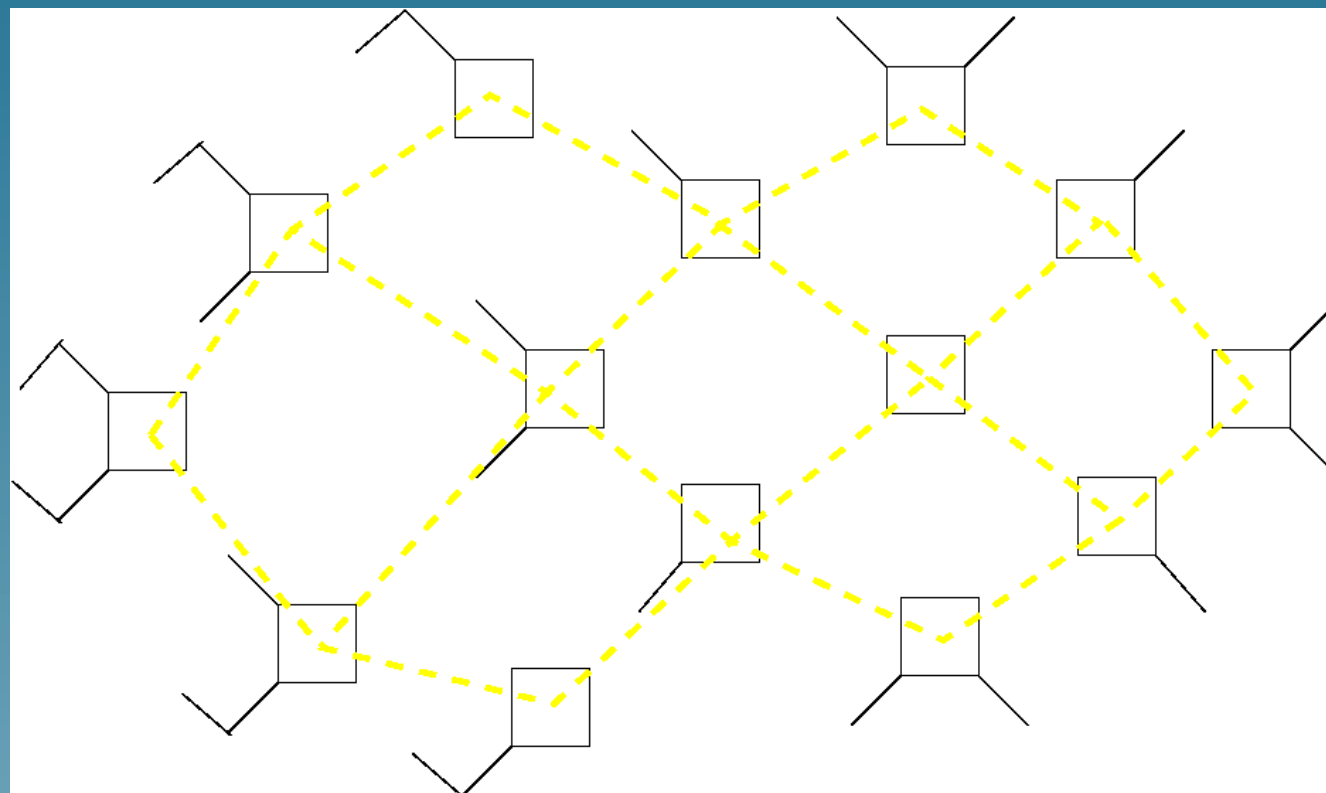
Interaction des protéines (par nature)



Regions (par discretisation)



Molecules (par nécessite)



Covariance sur un graphe

- Graphe $G = (\mathcal{X}, E)$ avec \mathcal{X} un ensemble fini de noeuds, $E \subset \mathcal{X} \times \mathcal{X}$ des liens entre les noeuds.
- $k : \mathcal{X} \times \mathcal{X} \rightarrow \mathbb{R}$ est une covariance ssi la matrice $K = [k(x, x')]_{x, x' \in \mathcal{X}}$ est symétrique définie positive.
- Comment trouver une telle matrice qui contienne de l'information sur la structure du graphe?

Premiere approche: distance

- Soit $d(x, x')$ une distance sur le graphe, par exemple la longueur du plus court chemin entre x et x' .
- Soit $k(x, x') = C(d(x, x'))$ ("stationnaire isotropique")
- Probleme: pas de condition generale sur C pour que k soit definie positive...

Deuxième approche: analyse harmonique

- Dans le cas $\mathcal{X} = \mathbb{R}^p$, la condition sur C est:

$$C(h) = \int_{\omega \in \mathbb{R}^p} e^{2\pi i \omega h} g(\omega) d\omega$$

avec $g \geq 0$.

- C se décompose sur la base de Fourier $\phi_\omega(h) = e^{2\pi i \omega h}$
- Faisons de l'analyse harmonique sur les graphe...

Laplacien sur les graphes

- Sur \mathbb{R}^d , les ϕ_ω sont les fonctions propres de l'opérateur Laplacien:

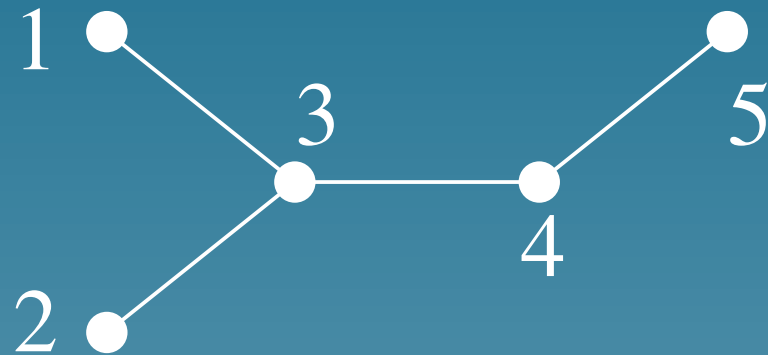
$$\Delta = \sum_{i=1}^p \frac{\partial^2}{\partial x_i^2}.$$

- Laplacien sur un graphe: si $f : \mathcal{X} \rightarrow \mathbb{R}$,

$$\Delta f(x) = \sum_{x' \sim x} [f(x') - f(x)]$$

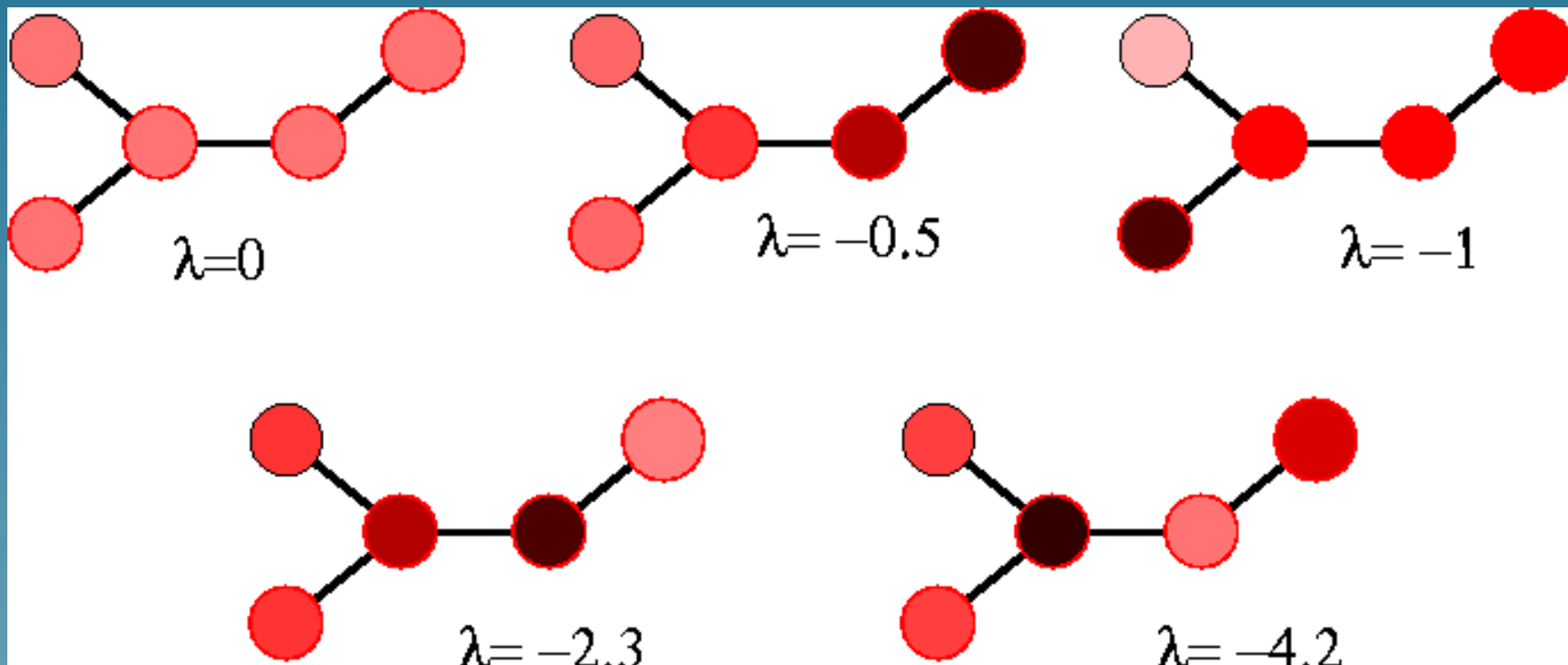
- Forme matricielle: $\Delta = A - D$, avec A la matrice d'adjacence et D la matrice diagonale des degrés.

Exemple



$$\Delta = \begin{pmatrix} -1 & 0 & 1 & 0 & 0 \\ 0 & -1 & 1 & 0 & 0 \\ 1 & 1 & -3 & 1 & 0 \\ 0 & 0 & 1 & -2 & 1 \\ 0 & 0 & 0 & 1 & -1 \end{pmatrix}$$

Fonctions propres du Laplacien



Spectre du Laplacien

- Les fonctions propres ϕ_1, \dots, ϕ_n du Laplacien forment une base de Fourier.
- Valeurs propres $\lambda_1 = 0 \geq \dots \geq \lambda_n$ décroissent quand la fréquence augmente.
- Transformée de Fourier d'une fonction $f : \mathcal{X} \rightarrow \mathbb{R}$:

$$\forall x \in \mathcal{X}, \quad f(x) = \sum_{i=1}^n \hat{f}_i \phi_i(x)$$

Du Laplacien à la covariance

- Si $f(x)$ est une fonction "régulière", la fonction $k(x, x') = f(x)f(x')$ est une covariance "régulière".
- Bonne fonction de covariance:

$$K(x, x') = \sum_{i=1}^n \gamma(\lambda_i) \phi_i(x) \phi_i(x')$$

avec $\gamma : \mathbb{R}_+ \rightarrow \mathbb{R}_+$, croissante.

- Matrices: si $\Delta = U^{-1}DU$ alors $K = U^{-1}\gamma(D)U$

Exemple: noyau de la chaleur

- On choisit $\gamma(\lambda) = e^{\beta\lambda}$, et on obtient

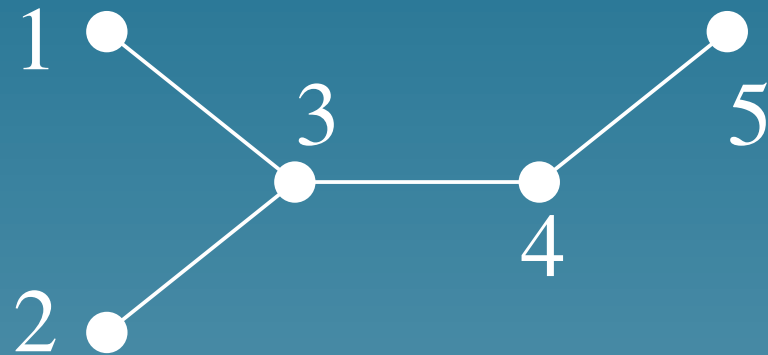
$$K_\beta = U^{-1}e^{\beta D}U = e^{\beta\Delta}.$$

- Ce noyau est la solution de l'équation de la chaleur:

$$\frac{\partial}{\partial \beta} K_\beta = \Delta K_\beta$$

- D'autres covariances sont bien sur possibles!

Exemple de covariance



$$K = \exp(\Delta) = \begin{pmatrix} 0.49 & 0.12 & 0.23 & 0.10 & 0.03 \\ 0.12 & 0.49 & 0.23 & 0.10 & 0.03 \\ 0.23 & 0.23 & 0.24 & 0.17 & 0.10 \\ 0.10 & 0.10 & 0.17 & 0.31 & 0.30 \\ 0.03 & 0.03 & 0.10 & 0.30 & 0.52 \end{pmatrix}$$

Interpretation: Marche aléatoire

- Soit $\beta < 1/\max(d_i)$ et $Z_1, Z_2 \dots$ une marche aléatoire sur le graphe avec

$$P(Z_{i+1} = x | Z_i = x') = \begin{cases} \beta & \text{si } x \sim x', \\ 1 - \beta d_i & \text{si } x = x', \\ 0 & \text{sinon} \end{cases}$$

- Alors $P(Z_N = x | Z_1 = x') = [(I + \beta \Delta)]_{x,x'}$
- Limite diffusion: $N = 1/\delta t$, $\beta = \beta_0 \delta t$:

$$\lim_{\delta t \rightarrow 0} P(Z_N = x | Z_1 = x') = [\exp(\beta_0 \Delta)]_{x,x'} = K(x, x').$$

Part 3

Covariance sur les groupes

Motivations

- Un **groupe** est un ensemble G muni d'une opération \circ associative, avec un **élément neutre** e tel que $e \circ x = x \circ e = x$, et tel que chaque élément $x \in G$ a un **inverse** $x^{-1} \in G$ tel que $x \circ x^{-1} = e$.
- Exemple: $(\mathbb{R}^p, +)$ est un groupe (commutatif)
- L'ensemble des **permutations** de $(1, \dots, n)$ muni de la composition est un groupe (non commutatif)
- Exemple: classez les 6 chaînes de télévision par ordre de préférence, et je prédit vos revenus

Statistique sur les groupes

Persi Diaconis, “Group representation in Probability and Statistics”,
IMS lecture notes, 1988.

Covariance sur un groupe

- Sur $(\mathbb{R}^p, +)$, on prend $k(x_1, x_2) = C(x_1 - x_2)$ quand C a une transformee de Fourier reelle positive
- Sur (g, \circ) , soit $C : G \rightarrow \mathbb{R}$ et

$$k(x_1, x_2) = C(x_1 \circ x_2^{-1})$$

- Quelle condition sur C pour que k soit une covariance?
- Reponse: par l'analyse harmonique sur les groupes...

Cas des groupes finis (resume)

- Theorie classique de la representation lineaire des groupes finis (voir J.-P. Serres, 1966)
- La transformee de Fourier d'une fonction $f : G \rightarrow \mathbb{R}$ en un ensemble de matrices carres (on decompose f sur les caracteres des representations irreductibles)
- Theorem (Bochner): k est une covariance ssi la transformee de Fourier de C est composee de matrices semidefinie positive.
- De plus, C est constante sur les classes de conjugaison ssi c'est

une combinaison linéaire de caractères irréductibles : peu de degré de liberté!

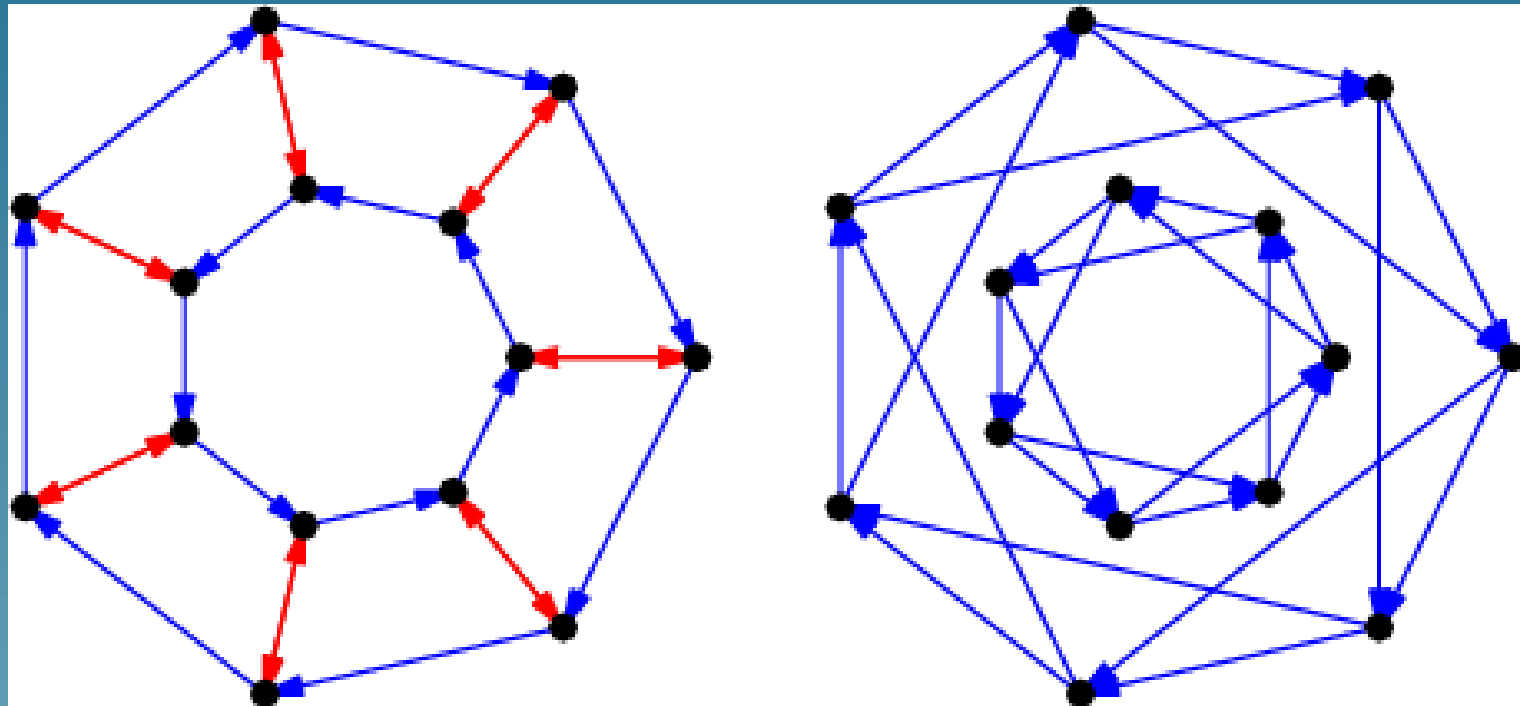
Calcul pratique d'une covariance sur un groupe

- Soit G un groupe
- Soit $S \subset G$ tel que $e \in S$ et si $x \in S$ alors $x^{-1} \in S$
- Le **graphe de Cayley** a pour noeuds G et pour liens:

$$x_1 \sim x_2 \text{ ssi } x_1 \circ x_2^{-1} \in S.$$

- On peut faire un noyau sur le graphe de Cayley!

Graphes de Cayley



Groupe dihedral D_7 , un groupe de permutation de 14 éléments, avec différents ensembles S .

Part 4

Detecting pathway activity from microarray data

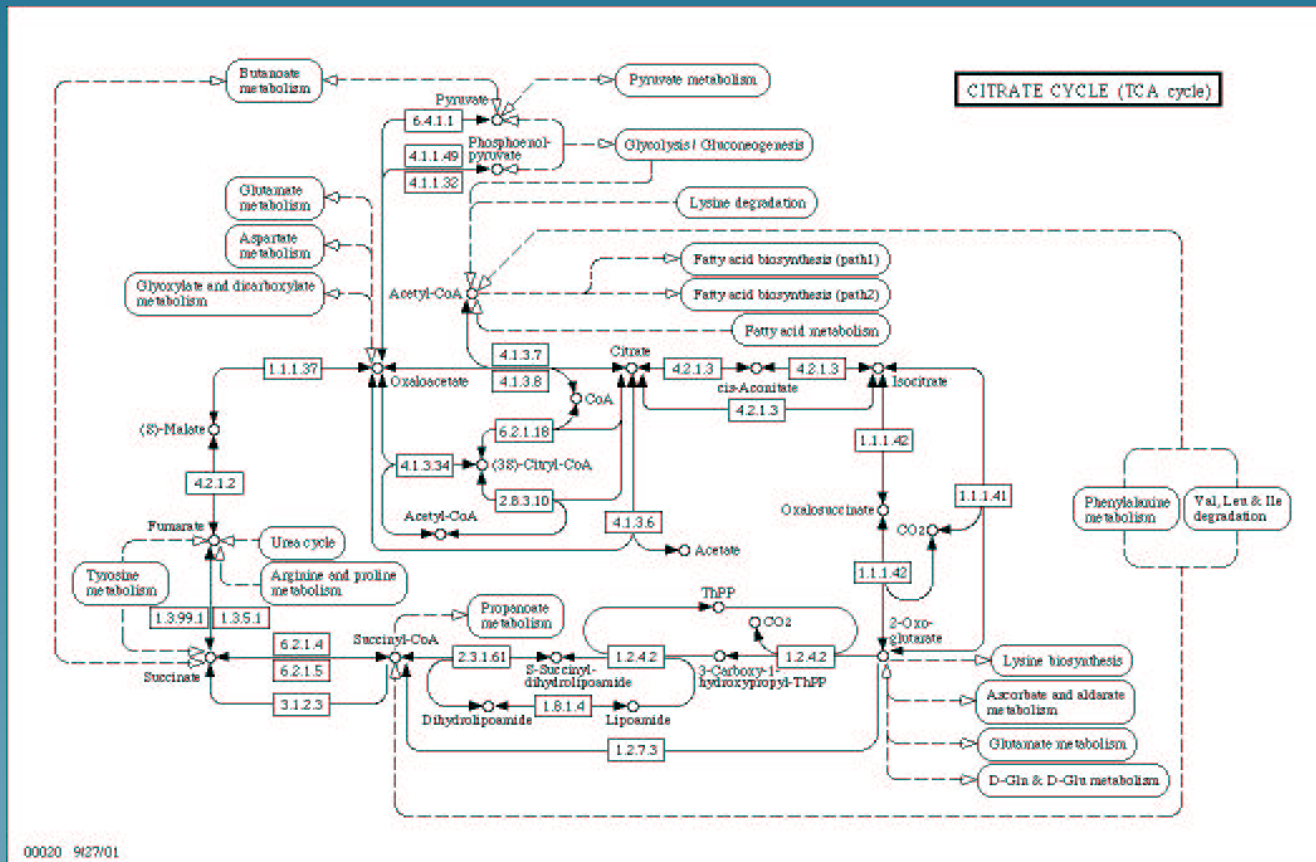
(with M. Kanehisa, *ECCB 2003*)

Genes encode proteins which can catalyse chemical reactions



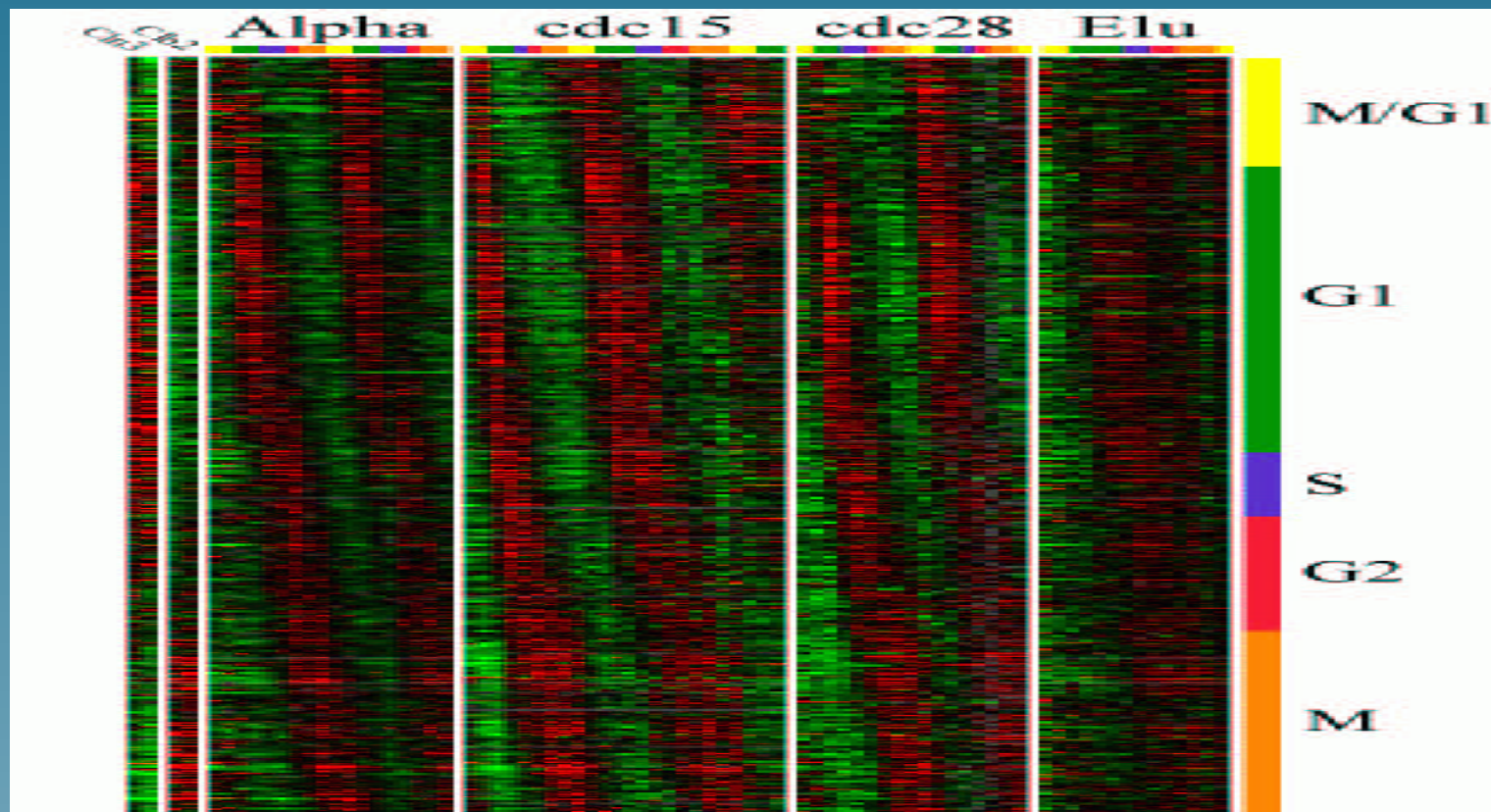
Nicotinamide Mononucleotide Adenylyltransferase With Bound Nad+

Chemical reactions are often parts of pathways



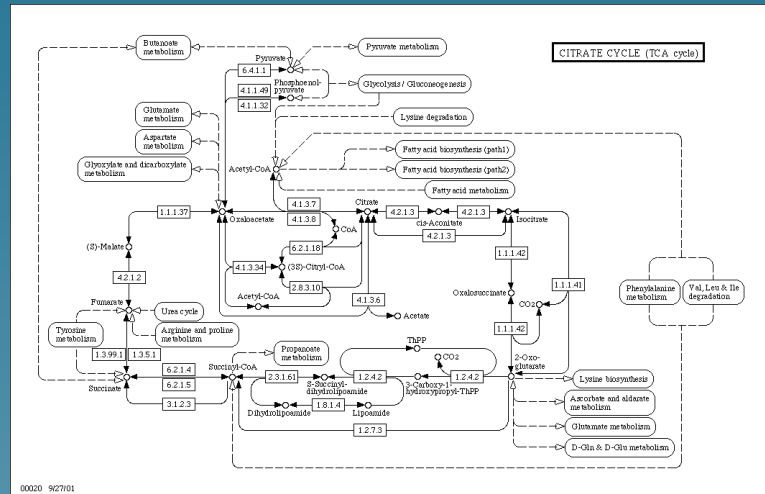
From <http://www.genome.ad.jp/kegg/pathway>

Microarray technology monitors mRNA quantity

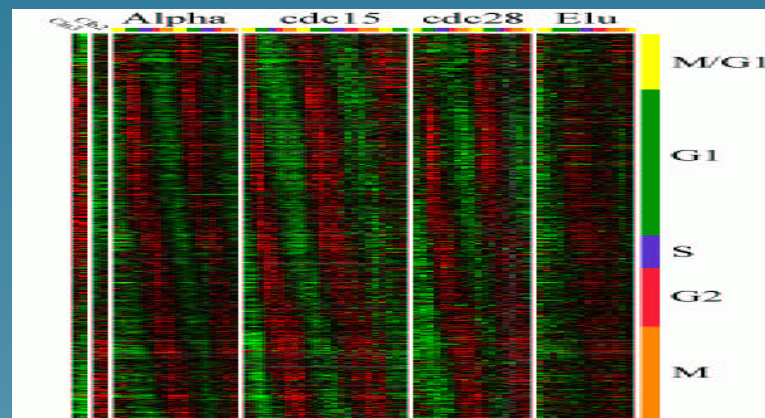


(From Spellman et al., 1998)

Comparing gene expression and pathway databases

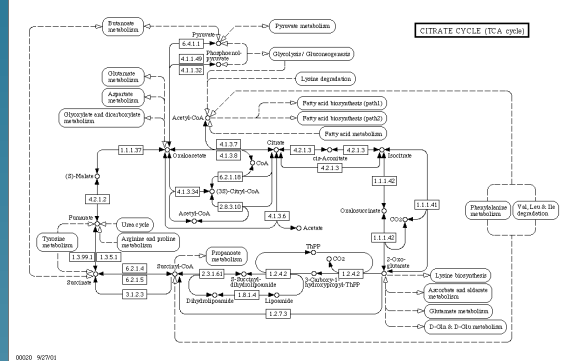


VS

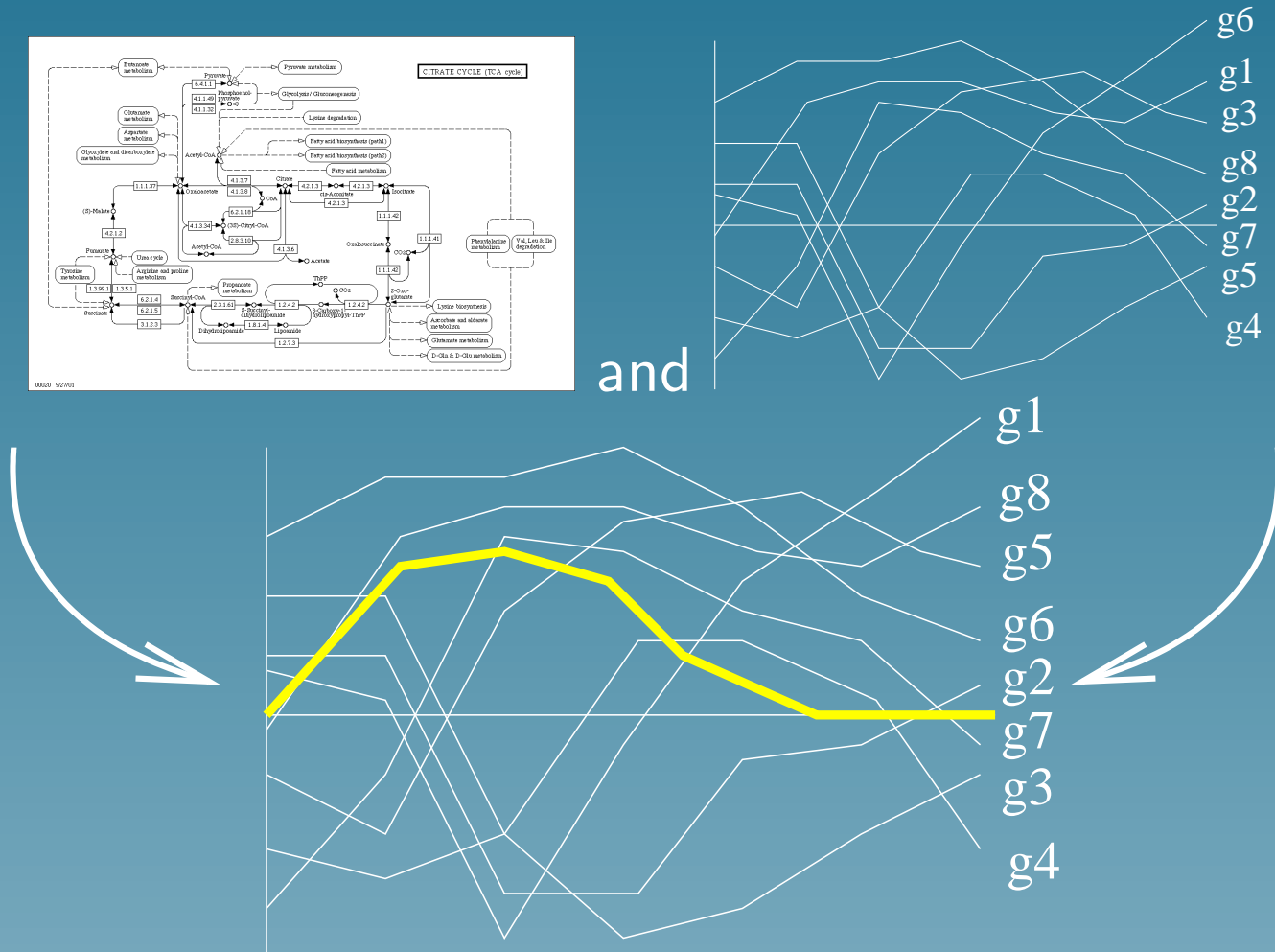


Detect active pathways? Denoise expression data?
 Denoise pathway database? Find new pathways?
 Are there “correlations”?

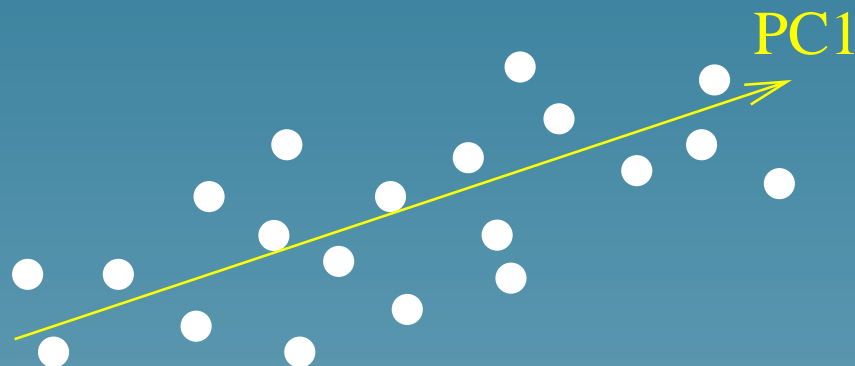
A useful first step



and



Using microarray only



PCA finds the directions (*profiles*) explaining the largest amount of variations among expression profiles.

PCA formulation

- Let $f_v(i)$ be the projection of the i -th profile onto v .
- The amount of variation captured by f_v is:

$$h_1(v) = \sum_{i=1}^N f_v(i)^2$$

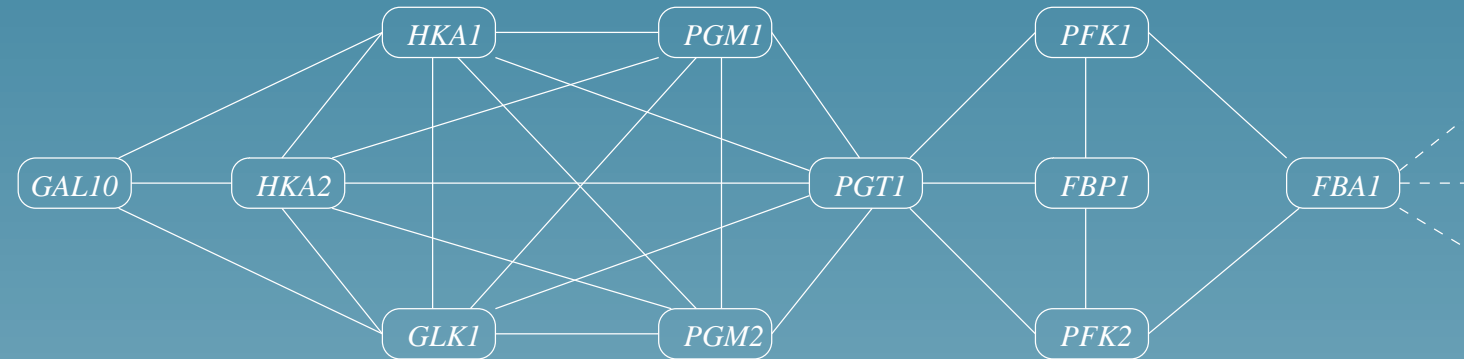
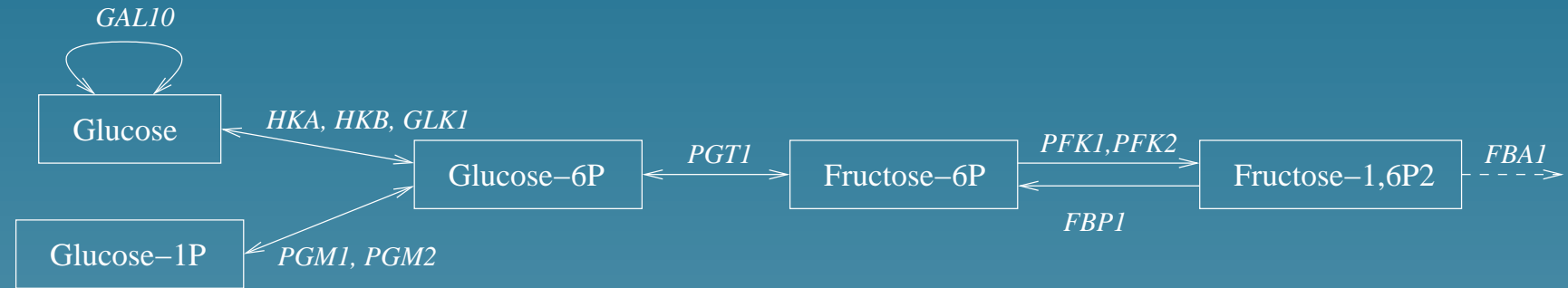
- PCA finds an orthonormal basis by solving successively:

$$\max_v h_1(v)$$

Issues with PCA

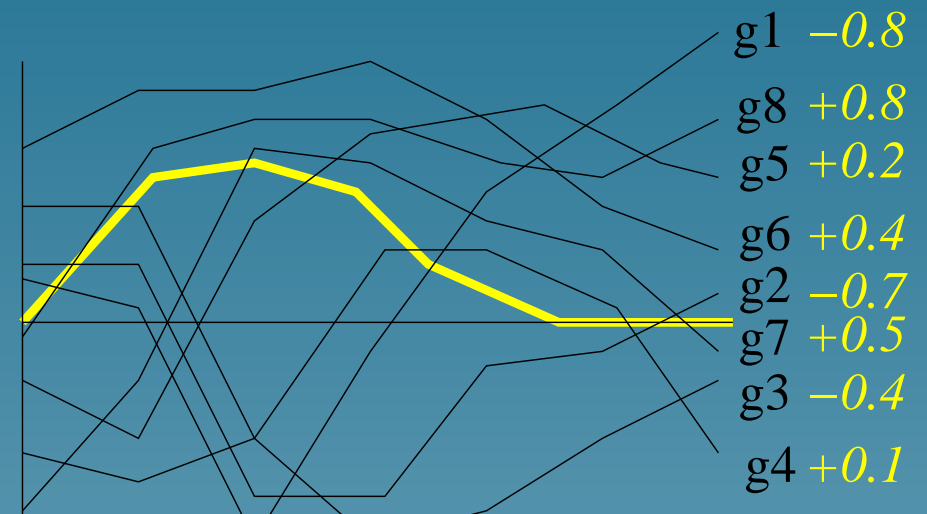
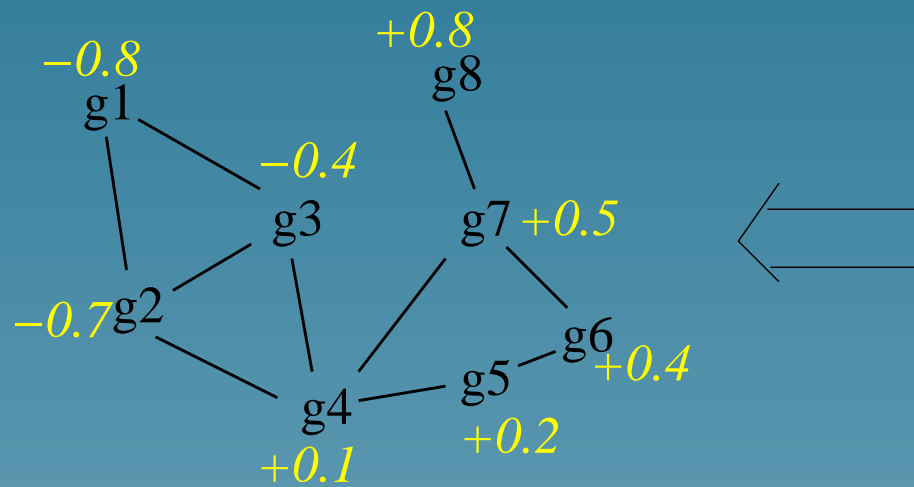
- PCA is useful if there is a small number of strong signal
- In concrete applications, we observe a **noisy superposition** of many events
- Using a prior knowledge of metabolic networks can help denoising the information detected by PCA

The metabolic gene network



Link two genes when they can catalyze two successive reactions

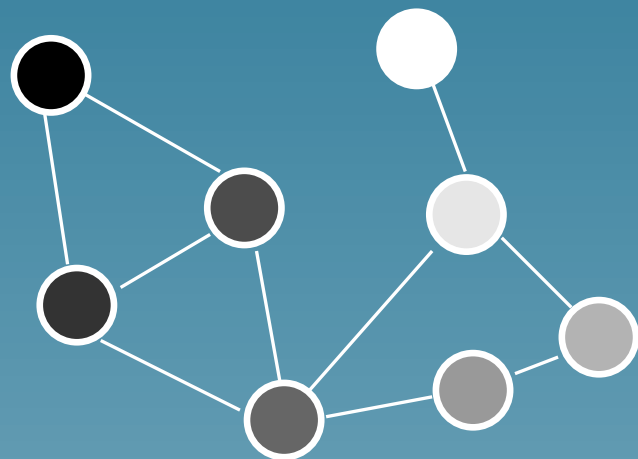
Mapping f_v to the metabolic gene network



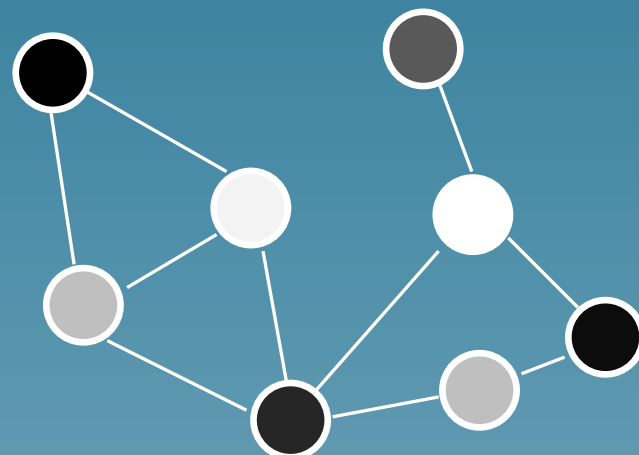
Does it look interesting or not?

Important hypothesis

If v is related to a metabolic activity, then f_v should vary "smoothly" on the graph

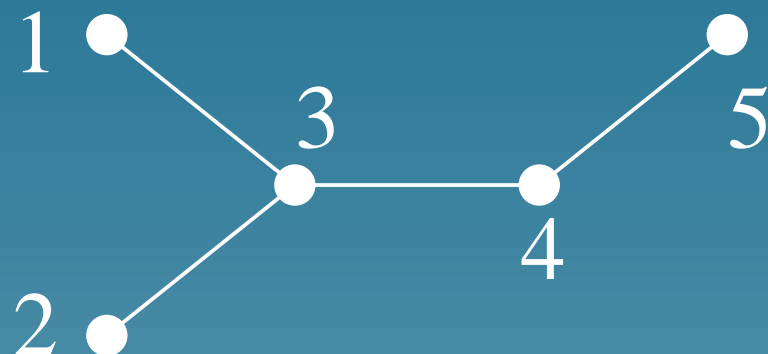


Smooth



Rugged

Graph Laplacian $L = D - A$

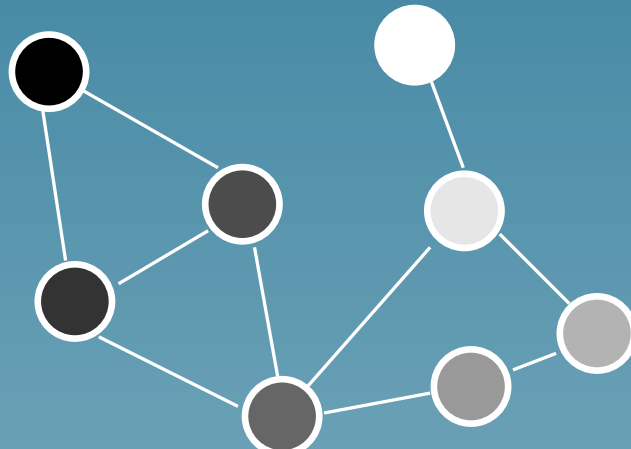


$$L = \begin{pmatrix} -1 & 0 & 1 & 0 & 0 \\ 0 & -1 & 1 & 0 & 0 \\ 1 & 1 & -3 & 1 & 0 \\ 0 & 0 & 1 & -2 & 1 \\ 0 & 0 & 0 & 1 & -1 \end{pmatrix}$$

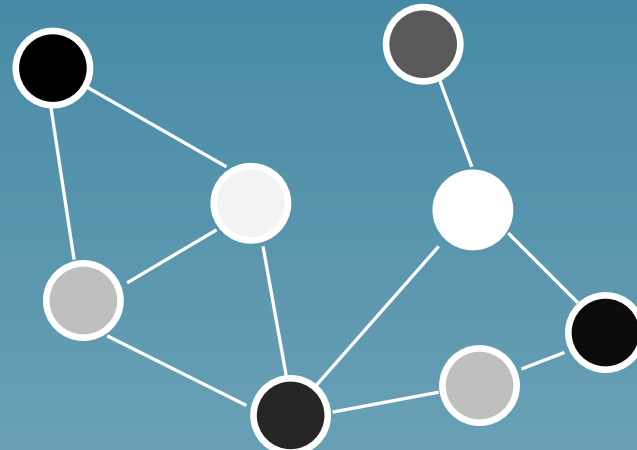
Smoothness quantification

$$h_2(f) = \frac{f^\top \exp(-\beta L)f}{f^\top f}$$

is large when f is smooth



$$h(f) = 2.5$$



$$h(f) = 34.2$$

Motivation

For a candidate profile v ,

- $h_1(f_v)$ is large when v captures a lot of natural variation among profiles
- $h_2(f_v)$ is large when f_v is smooth on the graph

Try to maximize both terms in the same time

Problem reformulation

Find a function f_v and a function f_2 such that:

- $h_1(f_v)$ be large
- $h_2(f_2)$ be large
- $\text{corr}(f_v, f_2)$ be large

by solving:

$$\max_{(f_v, f_2)} \text{corr}(f_v, f_2) \times \frac{h_1(f_v)}{h_1(f_v) + \delta} \times \frac{h_2(f_2)}{h_2(f_2) + \delta}$$

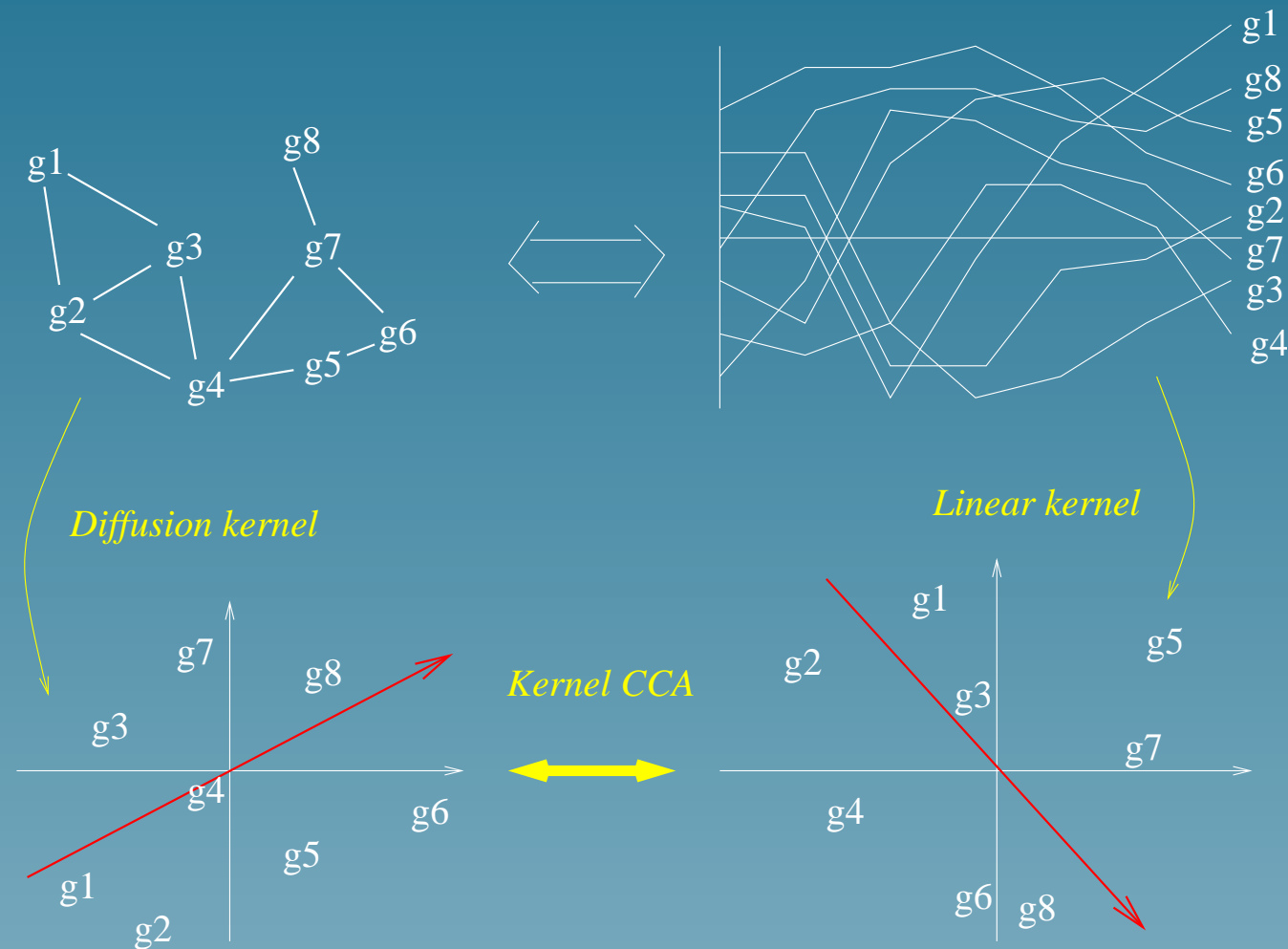
Solving the problem

This formulation is equivalent to a generalized form of CCA (Kernel-CCA, Bach and Jordan, 2002), which is solved by the following generalized eigenvector problem

$$\begin{pmatrix} 0 & K_1 K_2 \\ K_2 K_1 & 0 \end{pmatrix} \begin{pmatrix} \alpha \\ \beta \end{pmatrix} = \rho \begin{pmatrix} K_1^2 + \delta K_1 & 0 \\ 0 & K_2^2 + \delta K_2 \end{pmatrix} \begin{pmatrix} \alpha \\ \beta \end{pmatrix}$$

where $[K_1]_{i,j} = e_i^\top e_j$ and $K_2 = \exp(-L)$.
 Then, $f_v = K_1\alpha$ and $f_2 = K_2\beta$.

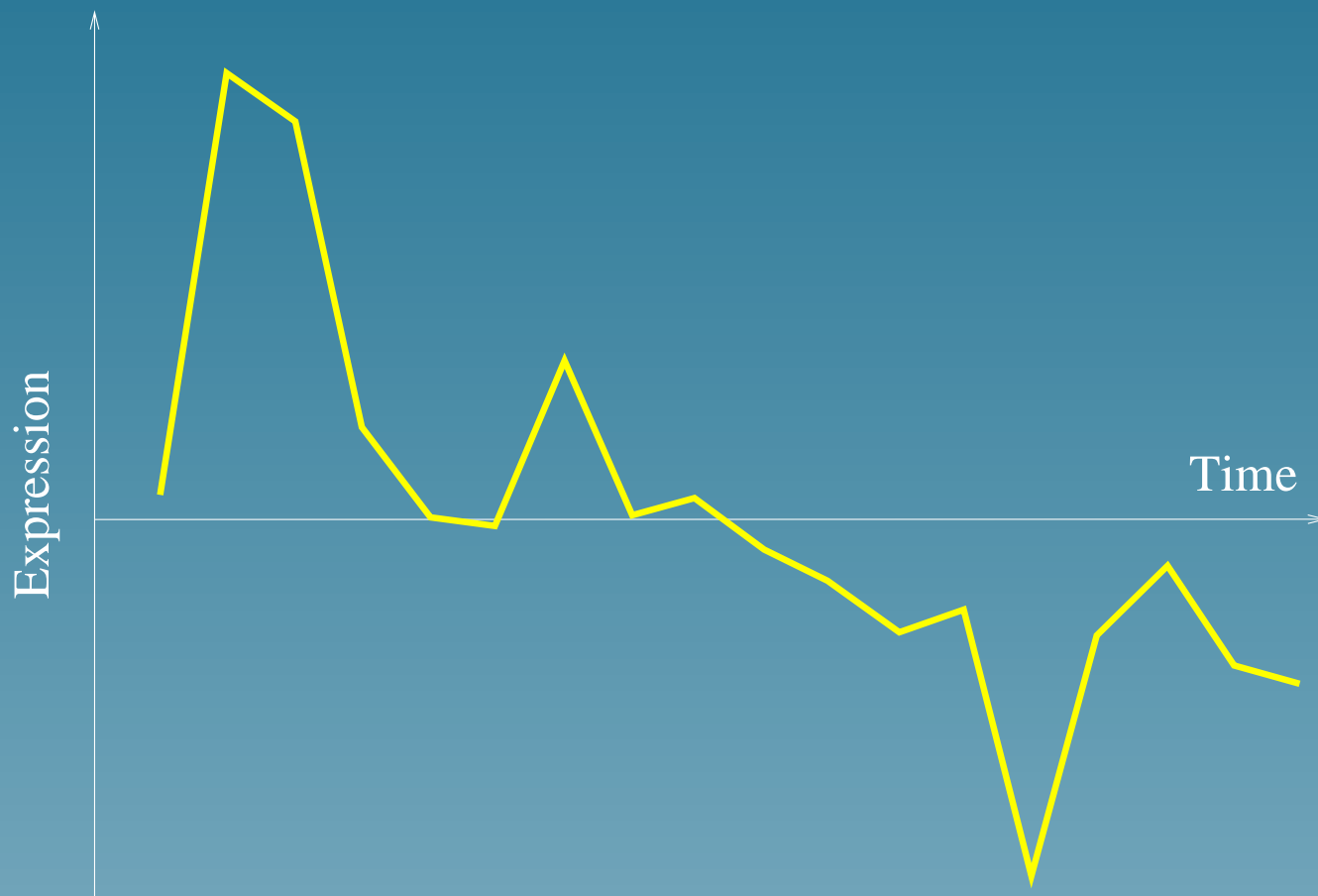
The kernel point of view...



Data

- Gene network: two genes are linked if they catalyze successive reactions in the KEGG database (669 yeast genes)
- Expression profiles: 18 time series measures for the 6,000 genes of yeast, during two cell cycles

First pattern of expression

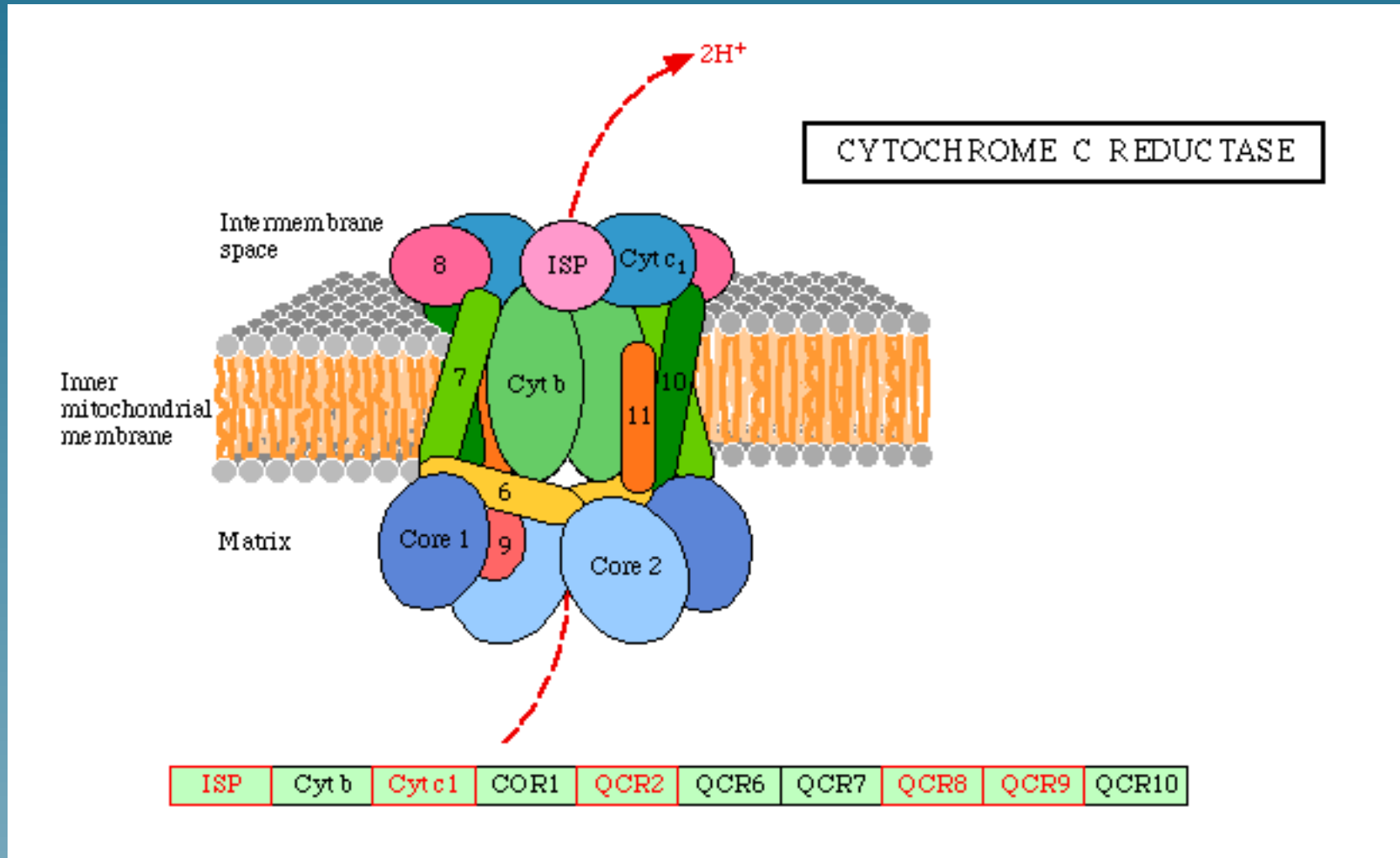


Related metabolic pathways

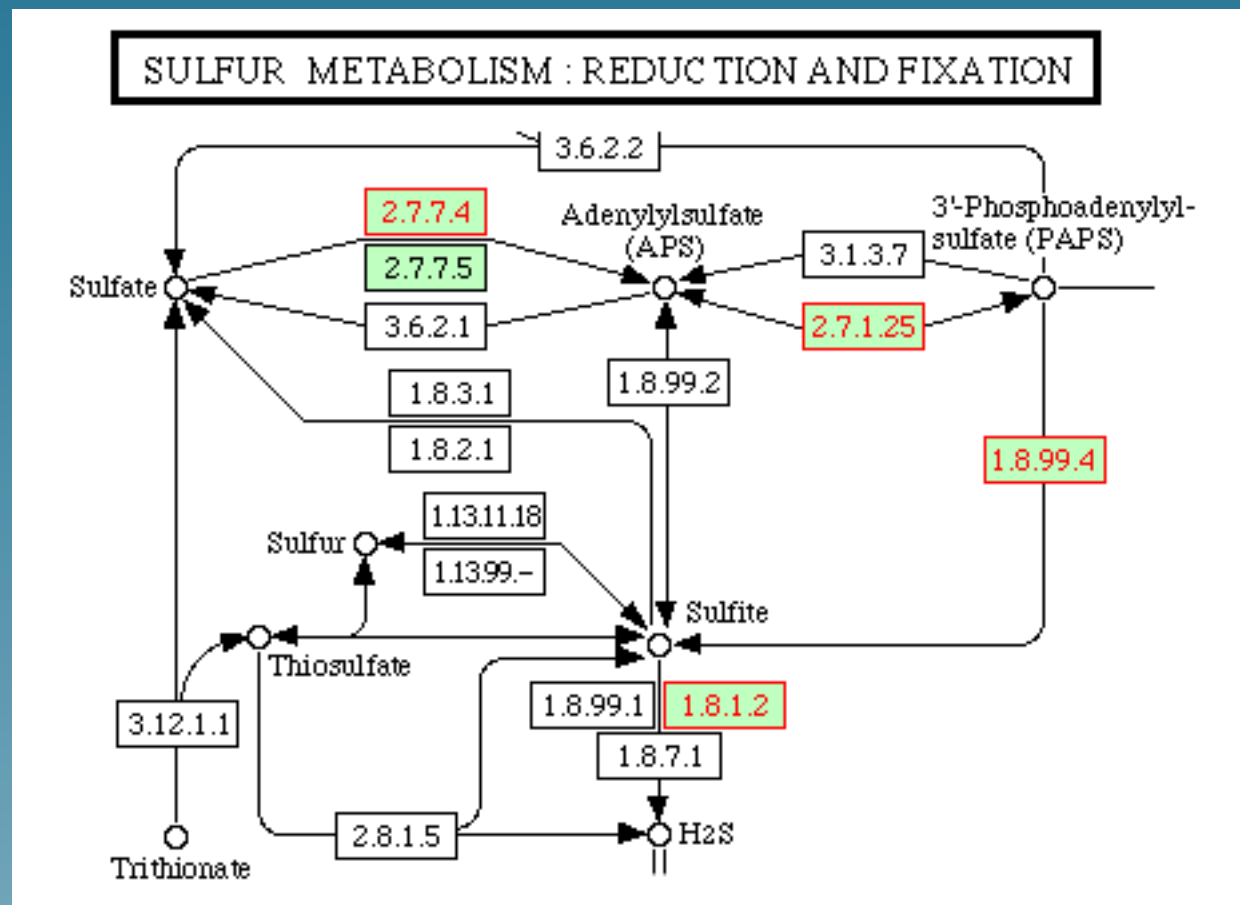
50 genes with highest $s_2 - s_1$ belong to:

- Oxidative phosphorylation (10 genes)
- Citrate cycle (7)
- Purine metabolism (6)
- Glycerolipid metabolism (6)
- Sulfur metabolism (5)
- Selenoaminoacid metabolism (4) , etc...

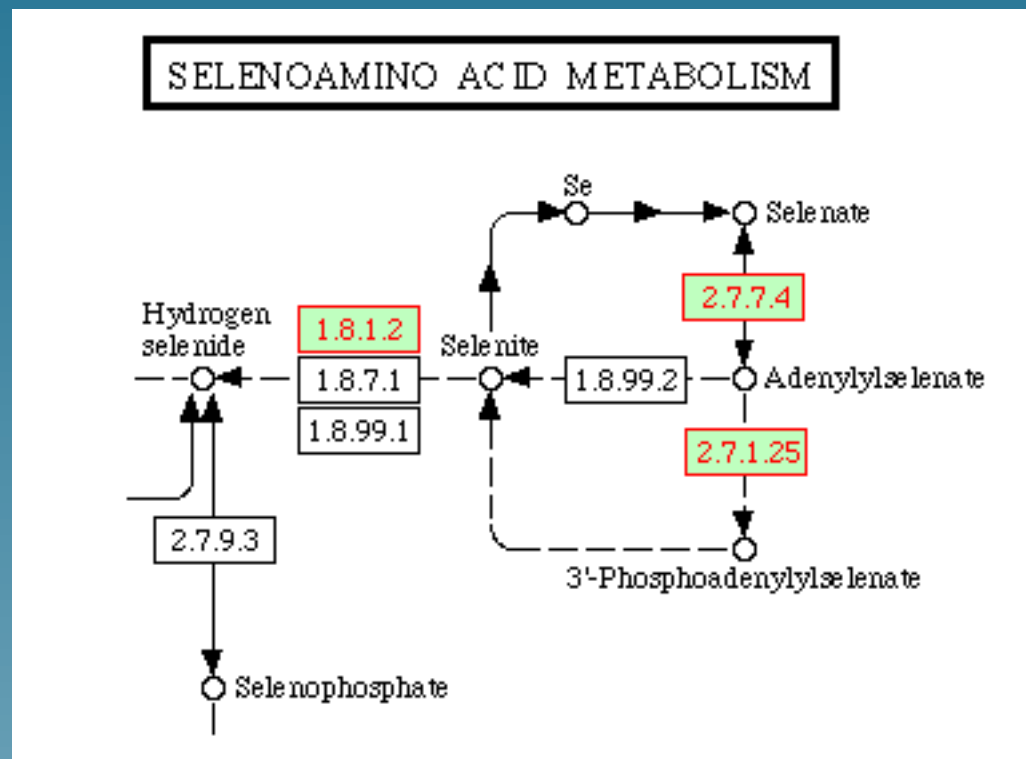
Related genes



Related genes



Related genes



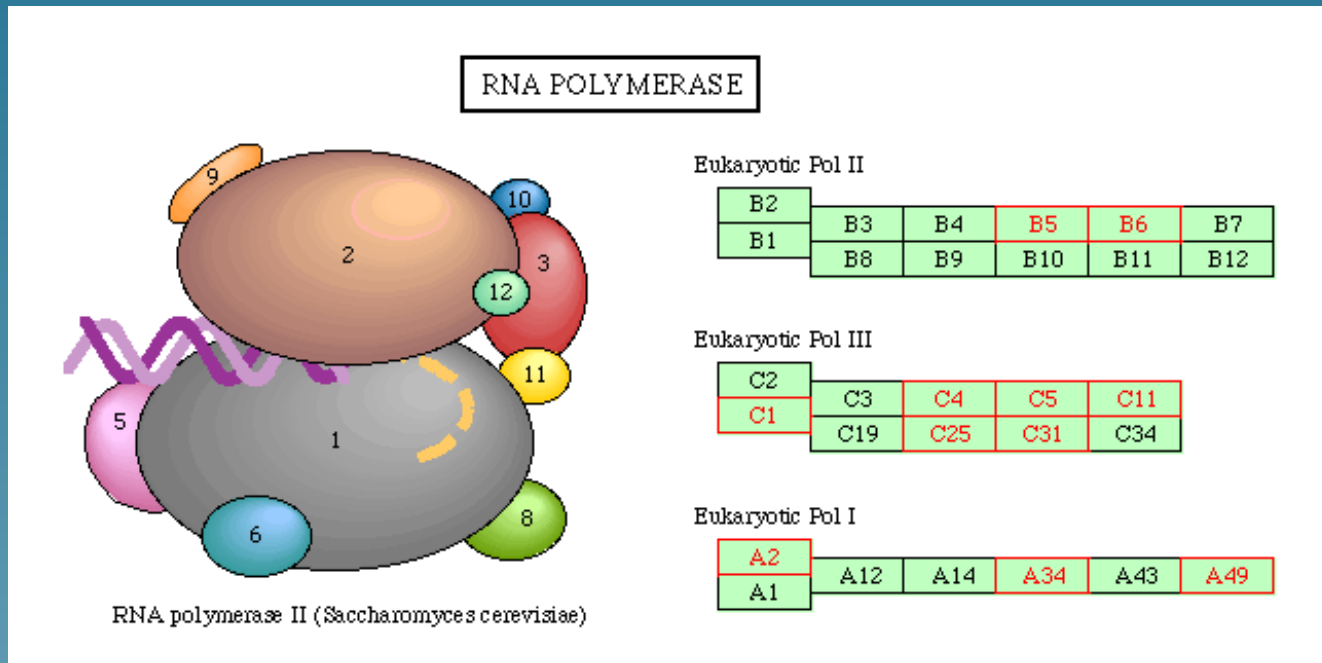
Opposite pattern



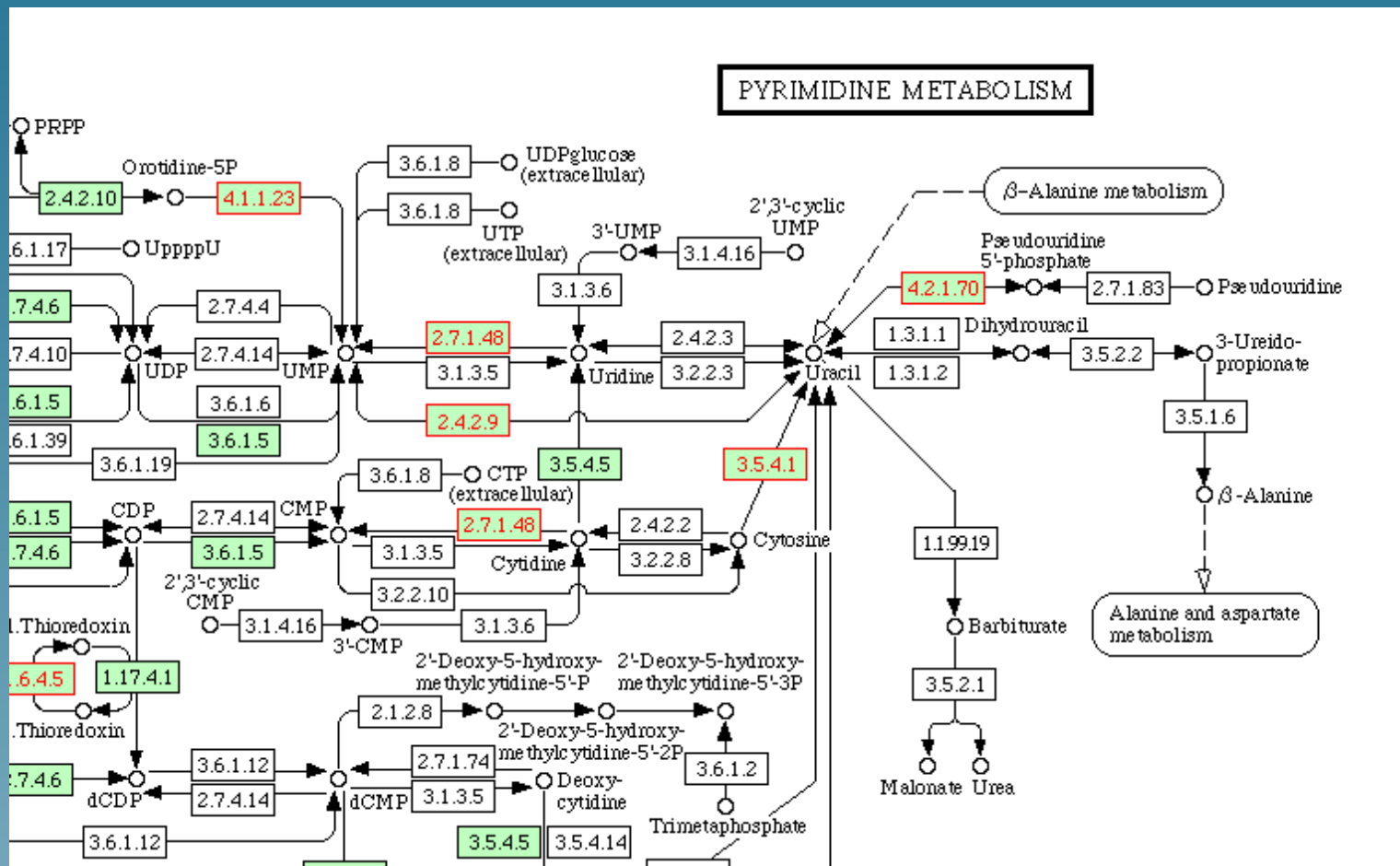
Related genes

- RNA polymerase (11 genes)
- Pyrimidine metabolism (10)
- Aminoacyl-tRNA biosynthesis (7)
- Urea cycle and metabolism of amino groups (3)
- Oxidative phosphorlation (3)
- ATP synthesis(3) , etc...

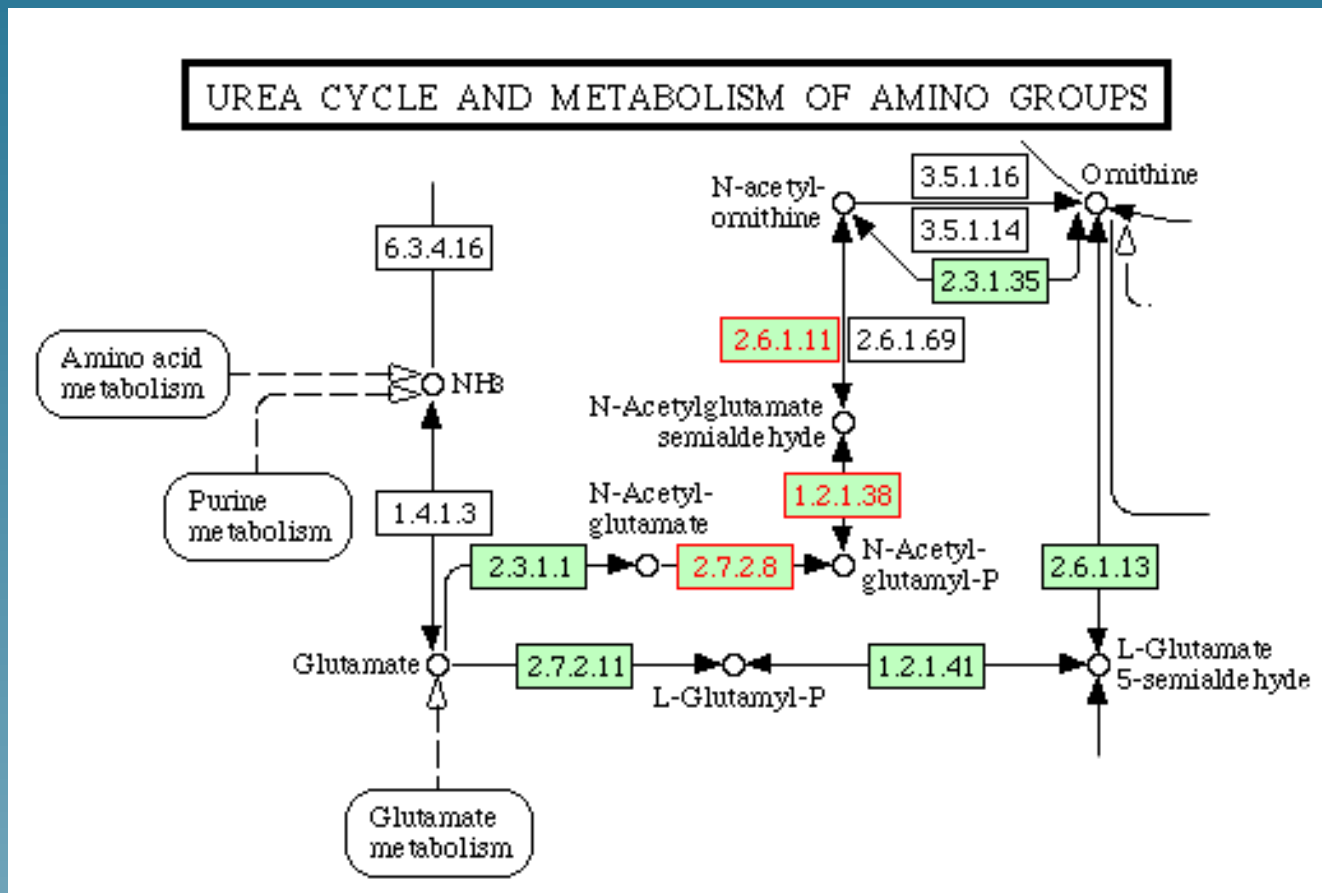
Related genes



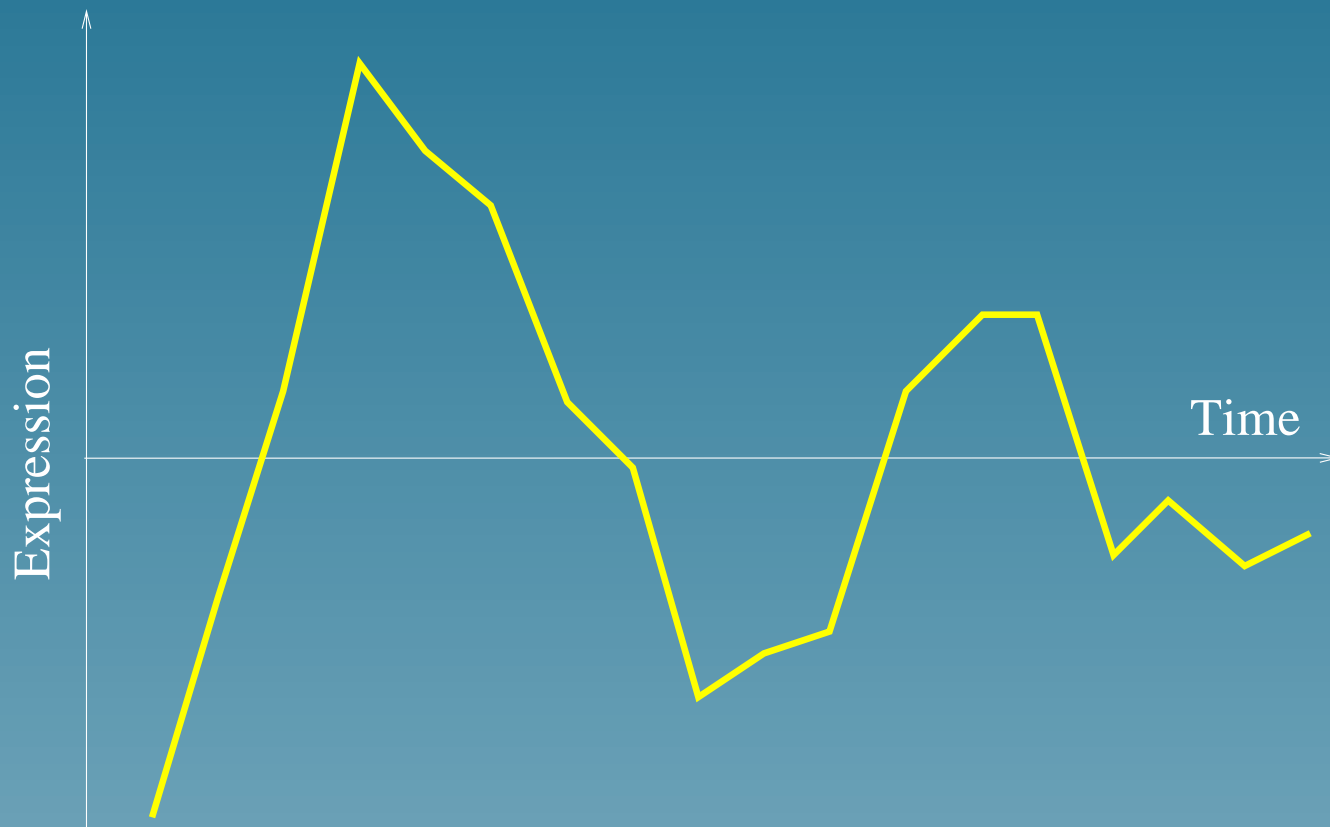
Related genes



Related genes



Second pattern



Extensions

- Can be used to extract features from expression profiles (preprint 2002)
- Can be generalized to more than 2 datasets and other kernels
- Can be used to extract clusters of genes (e.g., operon detection, *ISMB 03* with Y. Yamanishi, A. Nakaya and M. Kanehisa)

Conclusion

Conclusion

- On peut étendre la méthodologie de krigage (et processus Gaussien, machines à vecteurs de support, méthodes à noyau...) à des espaces structurés
- L'approche par analyse harmonique est très générale pour les espaces avec une structure algébrique
- Idem pour la généralisation sur des variétés Riemannienne (analyse harmonique par calcul différentiel).
- Encore très peu appliquée